

مدل‌بندی رگرسیونی داده‌های کروی با استفاده از تابع مخاطره هاورسین و روش کمترین توان‌های دوم خطای

میثم مقیم‌بیگی^{*}، موسی گلعلی‌زاده^{*}؛ دانشگاه تربیت مدرس، گروه آمار

پذیرش ۹۷/۰۶/۲۶ دریافت ۹۷/۰۲/۲۱

چکیده

از دیرباز محققان به تحلیل آماری داده‌ها روی سطح کروی زمین توجه داشته‌اند. داده‌هایی از این دست می‌تواند مربوط به مهاجرت برخی از حیوانات از منطقه‌ای به منطقه‌ای دیگر باشد. آن‌گاه مدل‌بندی آماری مسیر حرکت آن‌ها به محققان علوم‌زیستی کمک می‌کند تا بتواند برای حرکت آن‌ها پیش‌گویی داشته و همچنین محدوده‌ای را برآورد کنند که حضور حیوانات در آن منطقه محتمل‌تر باشد. برای بررسی چنین پدیده‌هایی در این مقاله، مدل‌بندی آماری مسیر حرکت اشیاء روی کره به روش‌های ناپارامتری و کمترین توان‌های دوم خطای مدنظر قرار گرفته است. این مدل‌بندی براساس دو مدل جدا از هم برای زوایای شکل گرفته روی کره انجام می‌گیرد. مدل‌های ارائه شده با استفاده از داده‌های شبیه‌سازی شده و داده واقعی ارزیابی خواهد شد.

واژه‌های کلیدی: تابع مخاطره، داده‌های کروی، رگرسیون ناپارامتری، مدل طولی.

مقدمه

از نقطه نظر هندسی داده‌های کروی داده‌هایی هستند که مقادیرشان را روی کره واحد اختیار می‌کنند. روش‌های زیادی برای برازش یک خم و بهویژه منحنی‌های رگرسیونی به‌روی داده‌های کروی وجود دارد. برای معرفی مدل‌های رگرسیون گولد^۱ [۱] از زوایای نقاط موجود روی کره استفاده کرد. او توزیع فیشر را به عنوان توزیع خطای در تحلیل‌های خود به کار گرفت. نسخه ناپارامتری از مدل او را تامپسون و کلارک^۲ [۲] پیشنهاد دادند. داده‌هایی که نزدیک به قطب شمال یا جنوب باشند رفتار متفاوتی نسبت به داده‌های دور از قطب دارند. این مسئله مشکل اصلی مدل معرفی شده آن‌ها بود. از این‌رو، ایشان سعی کردند داده‌ها را به طریقی دور از قطب نگه دارند. آن‌ها بعداً توانستند با استفاده از صفحه مماسی بر این مسئله غلبه کنند و پیشنهاد استفاده از اسپلاین‌ها را در آن صفحه ارائه دادند [۳]. پس از آن‌ها فیشر^۳ و همکاران [۴] دو خانواده از اسپلاین‌های کروی را برای داده‌های کروی پیشنهاد کردند. آن‌ها دو خانواده از خم‌ها را با استفاده از هندسه دیفرانسیل که برای برازش اسپلاین مناسب و به علاوه تحت انتخاب مختصات پایا بودند را معرفی کردند.

یکی از شیوه‌های پیش‌بینی در آمار، استفاده از روش‌های رگرسیون ناپارامتری است. بررسی مدل‌های هموار نیز در بسیاری از نوشه‌ها مورد توجه بوده است. هردوی این رویکردها همراه با شیوه‌های دیگر در مورد آمار ناقلی‌سی (آمار

مربوط به تحلیل داده‌های موجود در فضای ناقلیدسی) شامل آمار جهتی نیز مد نظر قرار گرفته است. مسیر اسپلاینی با استفاده از پارامترهای دورانی اولین بار در [۵] برای داده‌های دایره‌ای یا همان داده‌های زاویه‌ای پیشنهاد شد. ساختار مدل رگرسیونی ناپارامتری با استفاده از کمینه‌سازیتابع مخاطره اقلیدسی نیز در [۶] بررسی شد. این تابع مخاطره از این نظر اقلیدسی خوانده می‌شود که بر اساس فواصل اقلیدسی شکل گرفته است.

هدف اصلی مقاله حاضر این است که با استفاده از ایده معرفی شده در [۶] برای داده‌های روی دایره و همچنین ارائه شده در [۱] به معرفی مدل رگرسیونی ناپارامتری و کمترین توان‌های دوم خطای برای داده‌های کروی بپردازد. اگرچه در مدل ناپارامتری معرفی شده در [۱] مدل‌های ارائه شده بر اساس زوایا مستقل از هم هستند، اما با انتخاب یک تابع مخاطره مناسب می‌توان همبستگی میان زوایا را روی کره لحاظ کرد. این موضوع در مقاله حاضر دنبال شده است.

مدل طولی ناپارامتری برای داده‌های کروی

از اصول مبانی هندسه می‌دانیم که نقاط روی کره می‌توانند به وسیله دو زاویه مشخص شوند. زوایای θ و ϕ از معروف‌ترین این زوایا هستند. حال اگر فرض شود n مشاهده روی کره در اختیارند و هدف تحقیق، پایه‌ریزی یک مدل‌بندی آماری مناسب باشد یکی از فرض‌های اساسی می‌تواند استقلال مشاهدات روی کره باشد. گولد [۱] با این فرض مدل‌های نوع خطی را بنا نهاد. تامپسون و کلارک [۲] نیز برای مدل پارامتری‌شان از ویژگی‌های خاص زوایا کمک گرفتند. با اختیار داشتن متغیرهای (θ_i, ϕ_i) به‌ازای $i = 1, 2, \dots, n$ ، مدل پارامتری آن‌ها براساس توابع،

$\phi \rightarrow f_1 : t \rightarrow \theta$ و $f_2 : t \rightarrow \phi$ بدین صورت است:

$$\begin{cases} \phi_i = f_1(t_i) + \varepsilon_{i1} \\ \theta_i = f_2(t_i) + \varepsilon_{i2} \end{cases} \quad (1)$$

به‌طوری که ε_{i1} و ε_{i2} خطاهای مدل و t_i متغیر تبیینی است که معمولاً متغیر زمان در نظر گرفته می‌شود. تامپسون و کلارک [۲] فرض کردند که θ_i ‌ها دارای توزیع نرمال استاندارد با میانگین $(t_i)_f$ و واریانس $1/\kappa$ و ϕ_i ‌ها دارای توزیع نرمال با میانگین $(t_i)_\phi$ و واریانس $(1/\kappa) \sin^2 f_2(t_i)$ هستند. دی‌مارزیو^۱ و همکاران [۶] یک مدل ناپارامتری برای مشاهدات زاویه‌ای در زمان t_i به صورت $\varepsilon_i = g(t_i) + \phi_i$ معرفی کردند که در آن ε_i یک متغیر تصادفی زاویه‌ای با میانگین معلوم و پارامتر مرکز متناهی است. به‌منظور برآورد پارامترها، آن‌ها از تابع مخاطره اقلیدسی (تابع مخاطره‌ای که در فضای اقلیدسی استفاده می‌شود) استفاده کردند. به‌منظور ارائه مدلی رگرسیونی ناپارامتری برای داده‌های کروی، تعمیم روش آن‌ها از دایره روی کره مفید خواهد بود. از این‌رو، در این مقاله با استفاده از مدل و ایده معرفی شده در [۲، ۶] و یک تابع مخاطره مناسب برای داده‌های کروی، مدل رگرسیونی به‌روش ناپارامتری برای داده‌های کروی ارائه می‌شود.

یکی از روابط مهم در حوزه جهت‌یابی^۲ فاصله هاورسین^۱ است. این فرمول براساس فاصله دایره بزرگ بین دو نقطه روی کره از طریق طول و عرض جغرافیایی به‌دست می‌آید. برای هر دو نقطه (θ_1, ϕ_1) و (θ_2, ϕ_2) روی کره با شعاع یک، فاصله دایره بزرگ بین آن‌ها به صورت:

1. Di Marzio

2. Navigation

$$d = \gamma \sin^{-1} \left(\sqrt{\sin^2 \left(\frac{\theta_2 - \theta_1}{\gamma} \right) + \cos(\theta_1) \cos(\theta_2) \sin^2 \left(\frac{\phi_2 - \phi_1}{\gamma} \right)} \right)$$

و فاصله هاورسین بین آن‌ها بدین صورت نوشته می‌شود [۷]:

$$D = \text{hav}(d) = \text{hav}(\theta_2 - \theta_1) + \cos \theta_1 \cos \theta_2 \text{hav}(\phi_2 - \phi_1)$$

که در آن $(d/\gamma) \cdot \text{hav}(d) = \sin^2(d/\gamma)$. بر اساس این رابطه می‌توان تابع مخاطره هاورسین را روی کره بدین صورت تعریف کرد:

$$E[D | t] = E[\gamma - \sin \theta \sin f_1(t) - \cos \theta \cos f_1(t) \cos(f_2(t) - \phi) | t] \quad (2)$$

اگر برای دامنه عمومی زمانی t , فرض شود

$$m_1(t) = E[\cos \theta \sin \phi | t], \quad m_2(t) = E[\cos \theta \cos \phi | t],$$

در این صورت تابع مخاطره (2) زمانی که $\hat{f}_1(t) = \tan^{-1}(m_1(t)/m_2(t))$ کمینه می‌شود. همچنان با تعریف $m_3(t) = E[\sin \theta | t]$, $m_4(t) = E[\cos \theta \cos(f_2(t) - \phi) | t]$

تابع مخاطره (2) به ازای $\hat{f}_2(t) = \tan^{-1}(m_3(t)/m_4(t))$ کمینه می‌شود. به منظور اثبات این موضوع کافی است از تابع مخاطره (2) نسبت به $f_1(t)$ و $f_2(t)$ مشتق گرفته شود. با مشتق‌گیری از تابع مخاطره (2) و برابر صفر قرار دادن نتایج داریم:

$$\begin{aligned} \frac{\partial E[D | t]}{\partial f_1(t)} &= \cos f_1(t) E[\cos \theta \sin(f_1(t) - \phi) | t] \\ &= \cos f_1(t) E[\cos \theta \cos \phi \sin f_1(t) - \cos \theta \sin \phi \cos f_1(t)] \\ &= \cos f_1(t) \cos f_1(t) m_2(t) - \cos f_1(t) \cos f_1(t) m_1(t) = 0, \end{aligned}$$

$$\begin{aligned} \frac{\partial E[D | t]}{\partial f_2(t)} &= -\cos f_2(t) E[\sin \theta | t] + \sin f_2(t) E[\cos \theta \cos(f_2(t) - \phi) | t] \\ &= -\cos f_2(t) m_4(t) + \sin f_2(t) m_3(t) = 0, \end{aligned}$$

ملاحظه می‌شود که حل دو معادله اخیر منجر به روابط

$$\hat{f}_1(t) = \tan^{-1}(m_1(t)/m_2(t)) \quad \text{و} \quad \hat{f}_2(t) = \tan^{-1}(m_3(t)/m_4(t))$$

می‌شوند. حال بهمنظور این‌که نشان دهیم توابع حاصل کمینه کننده تابع مخاطره (2) هستند، مشتق مرتبه دوم را نیز محاسبه می‌کنیم. از این‌رو داریم:

$$\begin{aligned} \zeta_1 &= \frac{\partial^2 E[D | t]}{\partial f_1^2(t)} = \cos f_1(t) E[\cos \theta \cos(f_1(t) - \phi) | t], \\ \zeta_2 &= \frac{\partial^2 E[D | t]}{\partial f_2^2(t)} = \sin f_2(t) E[\sin \theta | t] + \cos f_2(t) E[\cos \theta \cos(f_2(t) - \phi) | t], \\ \zeta_{12} &= \frac{\partial^2 E[D | t]}{\partial f_1(t) \partial f_2(t)} = -\sin f_2(t) E[\cos \theta \sin(f_2(t) - \phi) | t]. \end{aligned}$$

با استفاده از آزمون مشتق دوم در نقاط بحرانی $\hat{f}_1(t)$ و $\hat{f}_2(t)$ بدین صورت داریم:

$$\begin{aligned}
 & \left| \hat{f}_1(t) \right| - \left(\xi_1 \right)^2 = \cos f_\gamma(t) m_\gamma(t) (\sin f_\gamma(t) m_\gamma(t) + \cos f_\gamma(t) m_\gamma(t)) \\
 & \quad - [\sin f_\gamma(t) E[\cos \theta \sin(f_\gamma(t) - \phi) | t]] \\
 & = \cos f_\gamma(t) m_\gamma(t) \sin f_\gamma(t) m_\gamma(t) + \cos^2 f_\gamma(t) m_\gamma^2(t) - \dots
 \end{aligned}$$

$$\left| \hat{f}_2(t) \right| = \cos f_\gamma(t) \cos f_\gamma(t) m_\gamma(t) + \cos f_\gamma(t) \sin f_\gamma(t) m_\gamma(t) \dots, \quad \forall; -\frac{\pi}{2} < \theta, \phi < \frac{\pi}{2},$$

که در آن $\cos \tan^{-1}(x) = 1/\sqrt{1+x^2}$ و $\sin \tan^{-1}(x) = x/\sqrt{1+x^2}$ است. بنابراین کمینه شدنتابع مخاطره بر بازه $-\pi/2 < \theta, \phi < \pi/2$ - تضمین می‌شود. از طرفی به این نکته توجه شود که در صورتی که داده‌های روی نیمکره بالایی قرار نداشته باشند با استفاده از توابع دوران می‌توان آن‌ها را به نیم‌کره بالا انتقال و پس از تحلیل همراه با نتایج حاصل به مکان اولیه منتقل شوند. از آنجاکه محققان در مسائل واقعی با مقادیر مشاهده شده (گسسته) از (θ_i, ϕ_i) روبرو هستند، از این‌رو، روش مونت کارلویی با وزن‌های مناسب می‌تواند برای محاسبه برآورده‌گرها استفاده شود. برای معرفی یک برآورد از $f_1(t)$ و $f_2(t)$ بر این اساس، فرض کنید n . مشاهده وابسته روى کره در زمان مجزا t_1, t_2, \dots, t_n باشند. برای هر $j = 1, 2, 3, 4$ برآورده‌گرها گشتاوری از $m_j(t)$ بدین صورت قابل معرفی

هستند:

$$\begin{aligned}
 \hat{m}_1(t) &= \frac{1}{n} \sum_{i=1}^n \cos \theta_i \sin \phi_i W_1(t_i - t), \\
 \hat{m}_\gamma(t) &= \frac{1}{n} \sum_{i=1}^n \cos \theta_i \cos \phi_i W_\gamma(t_i - t), \\
 \hat{m}_\varphi(t) &= \frac{1}{n} \sum_{i=1}^n \sin \theta_i W_\varphi(t_i - t), \\
 \hat{m}_4(t) &= \frac{1}{n} \sum_{i=1}^n \cos \theta_i \cos(\phi_i - f_\gamma(t)) W_4(t_i - t),
 \end{aligned}$$

به طوری که W_1 و W_γ توابع وزنی هستند و

$$\hat{f}_1(t) = \tan^{-1}(\hat{m}_1(t) / \hat{m}_\gamma(t)).$$

می‌توان ملاحظه کرد که برآورد $f_\gamma(t)$ بدین صورت است:

$$\hat{f}_\gamma(t) = \tan^{-1}(\hat{m}_\gamma(t) / \hat{m}_4(t))$$

واضح است که برآورد $f_1(t)$ مستقل از $f_2(t)$ بوده است، در صورتی که برآورد $f_2(t)$ وابسته به مقدار $\hat{f}_1(t)$ است. به منظور برآورد توابع $m_j(t)$ نیاز به معرفی توابع وزن مناسب است. توابع وزن بسیاری در نوشتگان در زمینه‌های مختلف آماری استفاده شده است که از معروف‌ترین آن‌ها می‌توان به توابع کرنل اشاره کرد [۸]. یکی از توابع کرنل که در نوشتگان بسیار استفاده می‌شود تابع چگالی نرمال است. در این مقاله با توجه به آسانی کار با تابع چگالی نرمال و ویژگی متقارن بودن آن از تابع کرنل نرمال استفاده می‌شود. به همین منظور فرض می‌شود که توابع وزن W_1 و W_γ توابع چگالی نرمال با میانگین صفر و واریانس σ_1^2 و σ_γ^2 باشند. از آنجاکه پارامترهای واریانس نقش پهنانی باند را دارند

از این‌رو، نیاز به برآورد این پارامترها است. روش‌های مختلفی برای برآورد پهنه‌ای باند (h) در تابع کرنل وجود دارد که برای مثال می‌توان به‌روش پهنه‌ای باند بهینه، روش ارزیابی متقابل بیشینه درستنمایی، ارزیابی متقابل ناریب و اریب اشاره کرد. در این مقاله به‌منظور برآورد پارامتر پهنه‌ای باند از روش ارزیابی متقابل بیشینه درستنمایی استفاده می‌کنیم. این روش در [۹] و [۱۰] معرفی شد که در آن پارامتر پهنه‌ای باند براساس مشاهدات x_1, \dots, x_n با تابع چگالی $l_h(x)$ از طریق تابع درستنمایی‌نما $(x_i) \hat{l}_h$ برآورد می‌شود. یادآوری می‌شود که تابع $(x) \hat{l}_h$ برآورد تابع چگالی $l_h(x)$ به‌صورت

$$\hat{l}_h(x) = \frac{1}{(n-1)h} \sum_{i=1}^n g\left(\frac{x_i - x}{h}\right)$$

که در آن g تابع کرنل است. به‌طور بدیهی یک برآورد بیشینه درستنمایی برابر $= h$ است. به‌منظور حذف این برآورد ناکارآمد کافی است تابع اعتبارسنج $(x) \hat{l}_{h,i}$ را با تابع اعتبارسنج $(x) \hat{l}_{h,k}$ جای‌گزین کیم که برای $k = 1, 2, \dots, n$ زمان T_i و T_j به‌صورت

$$\hat{l}_{h,i,k}(x_i) = \frac{1}{(n-1)h_k} \sum_{j \neq i} g_k\left(\frac{T_j - T_i}{h_k}\right) \quad (3)$$

است. بنابراین یک برآورد اعتبارسنجی بیشینه درستنمایی به‌صورت

$$h_{mlcv,k} = \arg \max_{h_k > 0} MLCV(h_k)$$

است که در آن

$$MLCV(h_k) = \left(n^{-1} \sum_{i=1}^n \log \left[\sum_{j \neq i} g_k\left(\frac{T_j - T_i}{h_k}\right) \right] - \log[(n-1)h_k] \right).$$

در ادامه روش دیگری برای مدل‌بندی آماری مسیر حرکت اشیاء روی کره معرفی می‌شود. این روش مبتنی بر استفاده از تابع ربط میان زوایا و متغیر تبیینی و براساس روش کمترین توان دوم خطای است.

روش کمترین توان دوم خطای مبتنی بر تابع ربط

یکی از توابع ربط برای ایجاد ارتباط در داده‌های زاویه‌ای تابع $(.)^{-1} \tan$ است. این تابع ربط به‌دلیل ایجاد ارتباط میان اعداد حقیقی و زوایا در مدل‌بندی داده‌های زاویه‌ای محبوبیت زیادی دارد [۱۱]. با استفاده از این تابع می‌توان مدل (۱) را به‌صورت (۴) نوشت:

$$\begin{cases} \phi_i = a_1 + f_1(\tan^{-1}(b_1 + c_1 t_i)) + \varepsilon_{i1} \\ \theta_i = a_2 + f_2(\tan^{-1}(b_2 + c_2 t_i)) + \varepsilon_{i2} \end{cases} \quad (4)$$

که در آن برای $i = 1, 2$ ، a_k و b_k پارامترهای مدل و c_k توابعی معلوم هستند. به‌منظور برآورد پارامترها کافی است کمیت $\sum_{i=1}^n \varepsilon_{ik}^2$ براساس پارامترهای مدل کمینه شوند. به‌همین منظور کافی است از $\sum_{i=1}^n \varepsilon_{ik}^2$ نسبت به پارامترها مشتق گرفته شود. با تعریف $\phi_i = \phi_i$ و $\theta_i = \theta_i$ برآورد کمترین توان‌های دوم خطای پارامترها از حل معادلات (۵)، (۶)، (۷)

$$\sum_{i=1}^n (\omega_{ik} - a_k - f_k(\tan^{-1}(b_k + c_k t_i))) = 0, \quad (5)$$

$$\sum_{i=1}^n \frac{f'_k(\tan^{-1}(b_k + c_k t_i))}{1 + (b_k + c_k t_i)^2} (\omega_{ik} - a_k - f_k(\tan^{-1}(b_k + c_k t_i))) = 0, \quad (6)$$

$$\sum_{i=1}^n \frac{f''_k(\tan^{-1}(b_k + c_k t_i)) t_i}{1 + (b_k + c_k t_i)^2} (\omega_{ik} - a_k - f_k(\tan^{-1}(b_k + c_k t_i))) = 0. \quad (7)$$

و با استفاده از الگوریتم بازگشتی زیر به دست می‌آیند:

الف) ابتدا با فرض معلوم بودن تابع f_k و مقدار اولیه $a_k = \bar{a}_k$ پارامترهای b_k و c_k به صورت هم‌zman و با استفاده از روش کمترین توان دوم خطأ در رابطه (۵) برآورد می‌شوند.

ب) با استفاده از رابطه (۶) و با فرض معلوم بودن a_k و c_k پارامتر b_k برآورد می‌شود.

ج) با داشتن مقادیر برآورد شده a_k و b_k ، پارامتر c_k با استفاده از رابطه (۷) برآورد می‌شود.

د) پس از برآورد b_k و c_k ، با استفاده از رابطه (۵) پارامتر a_k به روز رسانی می‌شود.

ه) با زگشت به مرحله (ب).

بررسی شبیه‌سازی برای مدل طولی

به منظور بررسی عملکرد مدل (۱) از یک ایده ساده در شبیه‌سازی نقاط در صفحه استفاده می‌شود. در مفهوم آمار شکل، شکل برابر با همه اطلاعات باقی‌مانده از یک شیء پس از حذف اثرات مکان، مقیاس و دوران از یک شیء است [۱۲]. بر اساس این تعریف، شکل هر مثلث می‌تواند به وسیله نقطه‌ای روی کره توصیف شود مختصات کروی چنین مثلث‌هایی بر سطح کره در [۱۳] ارائه شده است. به عبارت دیگر، هر شکل هر مثلث، به دور از اثر دوران، مکان و مقیاس را به طور ساده می‌توان با دو زاویه درونی آن مشخص کرد. این دو زاویه می‌تواند مختصات یک نقطه روی کره باشد. از این‌رو، برای شبیه‌سازی نقاط روی کره کافی است با فرض ثابت بودن دو رأس مثلث، رأس سوم آن شبیه‌سازی شود. این روش کمک می‌کند که نقاط روی صفحه شبیه‌سازی شود که به مراتب آسان‌تر از شبیه‌سازی روی کره است. به همین منظور، ابتدا فرض کنید رأس سوم مثلث‌ها دارای خاصیت مارکف از مرتبه اول در صفحه باشند. سپس بردار تصادفی $X = (X_1, X_2)^T$ از توزیع نرمال ۴ متغیره با میانگین $(\mu_1, \mu_2)^T = \mu$ و ماتریس کوواریانس

$$\begin{bmatrix} \Sigma_{11} & \Sigma_{12} \\ \Sigma_{21} & \Sigma_{22} \end{bmatrix}$$

را در نظر بگیرید که در آن $\Sigma_{11} > 0$ و $\Sigma_{22} > 0$. از ادبیات آمار چند متغیره می‌دانیم که $X_1 = x_1$ به شرط x_2 دارای توزیع نرمال دو متغیره با میانگین $(\mu_1 - \mu_2, \Sigma_{11} - \Sigma_{21})^T$ و ماتریس کوواریانس $\Sigma_{22} - \Sigma_{12}$ است. توجه داریم که بردار دو متغیره X مربوط به طول و عرض نقطه اول و بردار دو متغیره x مربوط به طول و عرض نقطه دوم است. در نتیجه با استفاده از توزیع شرطی و با یک الگوریتم تکراری می‌توان مثلث‌ها را تولید کرد. به همین منظور ابتدا فرض کنید $\mu = (\mu_{11}, \mu_{12}, \mu_{21}, \mu_{22})^T = \mu$ و $\Sigma = (\Sigma_{11}, \Sigma_{12}, \Sigma_{21}, \Sigma_{22})$

$$\begin{cases} \mu_{11} = 0.0017t^3 - 0.07t + 0.039 \\ \mu_{12} = 0.00012t^3 - 0.0005t^2 + 0.06t + 0.067 \end{cases}$$

همچنین بهمنظور سادگی مسئله فرض کنید ماتریس‌های کوواریانس مدل بهصورت مؤلفه‌هایی از مقادیر ثابت بدینصورت باشند:

$$\Sigma_{11} = \begin{bmatrix} 0/15 & 0/10 \\ 0/10 & 0/15 \end{bmatrix}, \quad \Sigma_{12} = \begin{bmatrix} 0/14 & 0/13 \\ 0/11 & 0/10 \end{bmatrix},$$

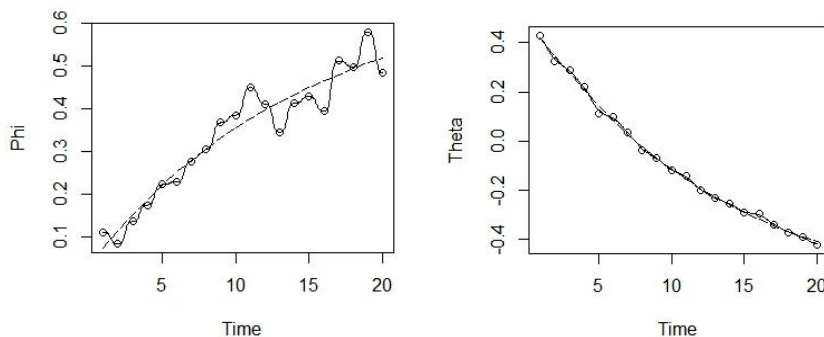
$$\Sigma_{21} = \begin{bmatrix} 0/14 & 0/11 \\ 0/13 & 0/10 \end{bmatrix}, \quad \Sigma_{22} = \begin{bmatrix} 0/15 & 0/13 \\ 0/13 & 0/15 \end{bmatrix},$$

الگوریتم ذیل برای شبیه‌سازی مثلث‌ها در ۲۰ زمان متوالی در نظر گرفته شده است:

۱. بهعنوان اولین گام، مقدار X_1 از توزیع نرمال دو متغیره با میانگین μ_1 و کوواریانس Σ_{11} تولید شود.
۲. با فرض $t = 1$ و با استفاده از توزیع شرطی X_2 به شرط $X_1 = x_1$ مقدار X_2 تولید شود.
۳. با تغییر $t \rightarrow t + 1$ و همچنین جابه‌جایی X_2 با X_1 دو گام (۱) و (۲)، به اندازه ۲۰ بار تکرار تا داده‌ها شبیه‌سازی شوند.

پس از شبیه‌سازی مثلث‌ها که در واقع نقاطی روی کره هستند مدل (۱) برای آن‌ها بهکار گرفته می‌شود. به همین منظور، ابتدا فرض کنید برای $i = 1, 2, \dots, 20$ ، دوتایی (ϕ_i, θ_i) ‌ها نمایش قطبی از نقاط در زمان i باشند. در مدل‌بندی ناپارامتری فرض شد برای $j = 1, 2, 3, 4$ زوین‌های W_j بهصورت تابع چگالی نرمال با میانگین صفر و واریانس σ_j^2 باشند. مقادیر $\hat{\sigma}_j$ با استفاده از تابع اعتبارسنج (۳) برآورد شد که این مقادیر برابر $\hat{\sigma}_1^2 = 0/3$ و $\hat{\sigma}_2^2 = 0/5$ و $\hat{\sigma}_3^2 = 0/5$ بهدست آمدند. همچنین مقدار ضریب تعیین رگرسیونی R برای میانگین عرض‌های جغرافیایی (θ_i) برابر $9996/0$ و میانگین طول‌های جغرافیایی (ϕ_i) برابر $9998/0$ حاصل شد. لازم به اشاره است که میانگین توان دوم خطای در روش ناپارامتری برابر 27×10^{-5} بهدست آمد.

با استفاده از روش کمترین توان‌های دوم خطای و با تعریف $x = f_1(x) - f_2(x)$ پارامترها برآورد شدند که مقدار ضریب تعیین تعمیم یافته برای دو مدل (۴) بهترتیب برابر $0/9146$ و $0/9972$ بهدست آمدند. مقدار میانگین توان دوم خطای با استفاده از روش کمترین توان‌های دوم خطای برابر $0/0019$ شد که این مقدار بسیار بزرگ‌تر از مقدار میانگین توان دوم خطای بهروش ناپارامتری است. شکل ۱ نمایشی از پیش‌بینی مسیر با استفاده از روش ناپارامتری (خطوط ممتد) و همچنین کمترین توان‌های دوم خطای (خطوط بربیده) برحسب زمان را نشان می‌دهد.



شکل ۱. مسیر حرکت زوایا (بر حسب رادیان) در طول زمان همراه با پیش‌گویی آن‌ها با استفاده از روش ناپارامتری (خطوط ممتد) و روش کمترین توان‌های دوم خطای (خطوط بربیده)

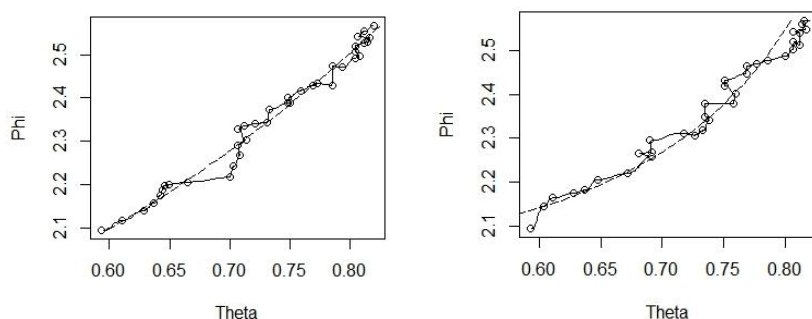
کاربرد در مثال واقعی

به منظور بررسی مدل ارائه شده، داده‌های مربوط به مهاجرت فیل‌های دریایی واقع در ناحیه شرق اقیانوس آرام شمالی در نزدیکی سواحل کالیفرنیا جنوبی در نظر گرفته شده است. فیل‌های دریایی ۸ تا ۱۰ ماه از سال را به مهاجرت برای یافتن غذا می‌پردازنند. دانشمندان به منظور بررسی الگوی مهاجرت آن‌ها با استفاده از سنسورهایی که به بدن آن‌ها متصل شده بودند، موقعیت فیل‌ها را در هر روز از شروع مهاجرت در ۷۵ روز ثبت کرده‌اند. این مهاجرت مربوط به ۴۱ روز مسیر رفت و ۳۴ روز مسیر برگشت است. این داده‌ها قبلًاً توسط چند آماردان بررسی شده است که برای مثال می‌توان به [۱۴] اشاره کرد.

از آنجایی که مسیر مهاجرت فیل‌های دریایی دو مسیر رفت و برگشت است؛ مدل‌بندی حرکت‌شان به صورت جداگانه برای دو مسیر رفت و برگشت انجام می‌گیرد. به علاوه، این مدل‌بندی با استفاده از دو روش ناپارامتری و کمترین توان‌های دوم خطای انجام می‌شود. در روش ناپارامتری ابتدا با استفاده ازتابع اعتبارسنج پارامترهای واریانس برآورد شدنند. این مقادیر $\hat{\sigma}_1 = 0.31$ و $\hat{\sigma}_2 = 0.44$. پس از برآورد پارامترهای واریانس، مدل ناپارامتری (۱) که در بخش ۱ تشریح شد برای داده‌های مختصات حرکت فیل‌های دریایی استفاده شد. مقدار میانگین توان دوم خطای در روش ناپارامتری برای مسیر رفت و برگشت به ترتیب برابر $4/84 \times 10^{-7}$ و 57×10^{-7} به دست آمد.

مدل‌بندی داده‌ها با استفاده از روش کمترین توان‌های دوم خطای نیز انجام شد که برای مسیر رفت با فرض $x = f_1(x) = f_2(x)$ مقدار میانگین مربعات خطای برابر $0/000$ به دست آمد. همچنان ضریب تعیین تعمیم یافته برای دو مدل (۴) به ترتیب برابر $0/9944$ و $0/9818$ به دست آمد. برای مسیر برگشت با فرض $x = f_1(x)$ و $x = f_2(x) = x + x'$ مقدار میانگین دوم خطای برابر $0/1745$ به دست آمدند. در این مسیر ضریب تعیین هریک از مدل‌های (۴) به ترتیب برابر $0/9956$ و $0/9598$ بود.

شکل ۲ مسیر رفت و برگشت فیل‌های دریایی همراه با برآورد آن‌ها را با استفاده از زوایا نمایش می‌دهد. در این شکل دایره‌ها مختصات حرکت فیل‌ها در هر زمان، خطوط ممتدا پیش‌گویی مسیر حرکت آن‌ها با استفاده از روش ناپارامتری و خطوط بریده پیش‌گویی مسیر حرکت با استفاده از روش کمترین توان‌های دوم خطای است.



شکل ۲. سمت راست مسیر رفت و سمت چپ مسیر برگشت (زوایا بر حسب رادیان) از حرکت فیل‌های دریایی همراه با پیش‌گویی آن‌ها با استفاده از روش ناپارامتری (خطوط ممتدا) و کمترین توان‌های دوم خطای (خطوط بریده)

بحث و نتیجه‌گیری

در سال‌های اخیر محققان با داده‌هایی روبه‌رو می‌شوند که طبیعت ناقلیدسی دارند. برای مثال داده‌هایی که روی کره زمین قرار دارند، داده‌هایی هستند که به محدودیت نرم مشخص بودن آن‌ها باید توجه کرد. مدل‌بندی این داده‌ها با روی‌کردهای آماری یکی از دغدغه‌های اصلی محققان بوده و هست. در مقاله حاضر، سعی شد به بخشی از موضوع تحلیل داده‌های کروی که با زوایا مشخص می‌شوند پاسخ داده شود. از این‌رو، روی‌کرد مدل‌بندی رگرسیونی براساس زوایای مستقل طوری تطبیق داده شد تا دو روش مدل‌بندی رگرسیونی طولی ناپارامتری و کمترین توان‌های دوم خطای برای تحلیل داده‌های کروی ارائه شود.

در دیدگاه روش ناپارامتری به مدل‌بندی رگرسیونی داده‌های کروی، تابع مخاطره هاوسین معرفی و کمینه‌سازی آن مدنظر قرار گرفت. به علاوه، ارزیابی آن با استفاده از داده‌های شبیه‌سازی شده و مثال واقعی بررسی شد. همچنین مدل‌بندی رگرسیونی به روش کمترین توان‌های دوم خطای استفاده از تابع ربط مناسب ارائه شد. اگرچه این دیدگاه کارایی روش ناپارامتری را ندارد؛ اما قادر است روش مناسبی در پیش‌گویی مسیر حرکت روی کره ارائه کند. روش‌های ارائه شده به دلیل سادگی می‌توانند در مسائل کاربردی مورد اقبال محققان قرار گیرند. استفاده از فاصله هاوسین نیز به عنوان فاصله‌ای مناسب داده‌های کروی می‌تواند بر مقبولیت روش پیشنهادی بیافزاید. به منظور افزایش کارایی مدل‌های معرفی شده پیشنهاد می‌شود از دیگر توابع ربط مبتنی بر روش کمترین توان‌های دوم خطای و توابع مخاطره مناسب برای داده‌های کروی استفاده شود.

منابع

1. Gould, A. L." A regression technique for angular variates", *Biometrics*, 25 (1969) 683-700.
2. Thompson R., Clark R. M." Fitting polar wander paths. *Physics of the Earth and Planetary Interiors*" (1981) 27, 1-7.
3. Thompson R., Clark R. M." A robust least-squares Gondwanan apparent polar wander path and the question of palaeomagnetic assessment of Gondwanan reconstruction", *Earth and Planetary Science Letters*, 57 (1982) 152-158.
4. Fisher, N. I. Lewis T., Embleton B, J, J., "Statistical Analysis of Spherical Data", New York: Cambridge University Press (1987).
5. Parker R. L., Denham C. R., "Interpolation of unit vectors", *Geophysical Journal International*, 58 (1979) 685-687.
6. Di Marzio M., Panzera A., Taylor C. C., "Non-parametric regression for circular responses", *Scandinavian Journal of Statistics*, 40 (2013) 238-255.
7. Abramowitz M., Stegun I. A.", *Handbook of Mathematical Functions: With Formulas, Graphs, and Mathematical Tables*", New York: Dover Publications (1965).
8. Ramsay J. O., Silverman B. W., "Applied Functional Data Analysis Methods and Case Studies", New York :Springer-Verlag (2002).

9. Habbema J. D. F., Hermans J., Van den Broek K., "A stepwise discriminant analysis program using density estimation", Compstat 1974, Proceedings in computational statistics, PhysicaVerlag, Wien. (1974) 101-110.
10. Duin R. P. W., "On the choice of smoothing parameters for parzen estimators of probability density functions", IEEE Transactions on Computers C-25 (1976) 1175-1179.
11. Fisher N. I. and Lee A. J.", Regression models for an angular response", Biometrics, 48 (1992) 665-677.
12. Kendall D.G., "The diffusion of shape", Advances in Applied Probability, 9 (1977) 428-430.
13. Dryden I. L., Mardia K. V., "Statistical Shape Analysis", Chichester: John Wiley & Sons (1998).
14. Brillinger D. R., Stewart B. S., "Elephant-seal movements: Modelling migration", Canadian Journal of Statistics, 26 (1998) 431-443.